

ارائه فرمول‌بندی جدید برای تحلیل دینامیکی تاریخچه زمانی غیرخطی ارتعاشات سازه‌های تحت بارگذاری زلزله

محمدرضا حنفی^۱، مهدی بابائی قلعه‌جوق^{۲*}، پیمان نرج‌آبادی^۲

^۱ دانشجوی کارشناسی مهندسی عمران، دانشکده فنی و مهندسی، دانشگاه بناب

^۲ استادیار گروه مهندسی عمران، دانشکده فنی و مهندسی، دانشگاه بناب

دریافت: ۱۴۰۱/۱۰/۴، بازنگری: ۱۴۰۲/۲/۲۹، پذیرش: ۱۴۰۲/۳/۲۱، نشر آنلاین: ۱۴۰۲/۳/۲۱

چکیده

یک روش عددی سریع و کارآمد تحت عنوان روش نیوتن-کاتس-تتای چهار نقطه‌ای (Newton-Cotes-4P-θ Method)، برای تحلیل تاریخچه زمانی سیستم‌های سازه‌ای یک درجه آزادی (SDOF) تحت اثر زلزله ارائه شده است. این روش از فرمول عددی نیوتن-کاتس-تتای چهار نقطه‌ای برای حل معادله حرکت استفاده کرده و سیستم‌های خطی و غیرخطی را نیز پوشش می‌دهد. در این روش هرگونه بارگذاری از نوع نیروهای خارجی وابسته به زمان و یا تحریک لرزه‌ای، قابل اعمال به سیستم دینامیکی بوده و تحلیل آن امکان‌پذیر است. مزیت مهم فرمول‌بندی جدید سهولت اجرا، سادگی محاسبات و دقت بالای آن در مقایسه با سایر روش‌های مشابه خود مانند انتگرال دوهمال و روش‌های نیومارک-بتا (Newmark-β) و ویلسون-تتا (Wilson-θ) می‌باشد. متعاقباً سطح دقت روش ارائه‌شده در حد روش‌های شبه تحلیلی انتگرال دوهمال بوده و سرعت پردازش آن نیز، مشابه روش‌های انتگرال‌گیری گام‌به‌گام نیومارک-بتا و ویلسون-تتا می‌باشد. قابل ذکر است که فرمول‌بندی جدید ارائه‌شده برخلاف روش نیومارک-بتا غیرخطی، نیاز به اجرای یک‌روند مستقل مانند تکرار نیوتن، برای لحاظ اثرات غیرخطی ندارد؛ بلکه تکرار یک سری محاسبات ساده منجر به همگرایی رفتار غیرخطی خواهد شد. علاوه بر آن، روش حاضر در هنگام تحلیل سیستم‌های دارای دوره تناوب کمتر از ۰/۱۵ ثانیه ($T_n < 0.15 \text{ sec}$) و نسبت میرایی کمتر از ۰/۰۲ ($\zeta < 0.02$)، عملکرد بهتری دارد و دارای پایداری مؤثر، سرعت همگرایی بالا و دقت کافی جهت تحلیل سیستم‌های دینامیکی بوده و به‌سادگی قابلیت اجرا دارد. نتایج عددی، مؤثر بودن روش جدید را در مقایسه با انتگرال دوهمال و روش‌های نیومارک-بتا و ویلسون-تتا نشان می‌دهد.

کلیدواژه‌ها: پاسخ لرزه‌ای، تحلیل غیرخطی، سیستم یک درجه آزادی، تحلیل تاریخچه زمانی، روش نیوتن-کاتس-تتای چهار نقطه‌ای.

۱- مقدمه

زیست‌شناسی و اقتصاد وجود دارند که باید به‌صورت عددی حل شوند؛ بنابراین، استفاده از روش‌های عددی در تحلیل سیستم‌های فیزیکی ضروری بوده و توسعه این روش‌ها به یکی از جذاب‌ترین زمینه‌های علوم کاربردی برای محققین تبدیل شده است. متعاقباً، در تئوری دینامیک سازه‌ها، مدل ریاضی یک سازه چند درجه آزادی اغلب به‌صورت یک سیستم یک درجه آزادی ارائه می‌شود که توسط معادلات دیفرانسیل حرکت (DEOM) فرمول‌بندی

پاسخ دینامیکی یک سیستم سازه‌ای تحت بار لرزه‌ای وابسته به زمان با یک معادله دیفرانسیل معمولی مرتبه دوم^۱ مدل‌سازی می‌شود. از آنجایی که در بسیاری از موارد نمی‌توان یک حل تحلیلی برای این معادله ارائه کرد. به این جهت، غالباً از روش‌های عددی برای محاسبه پاسخ معادلات دیفرانسیل معمولی مرتبه دوم استفاده می‌شود. همچنین، در علوم کاربردی حاضر با پیشرفت فناوری معادلات متعددی در مکانیک کاربردی، فیزیک،

2. Differential equation of motion

1. ODE

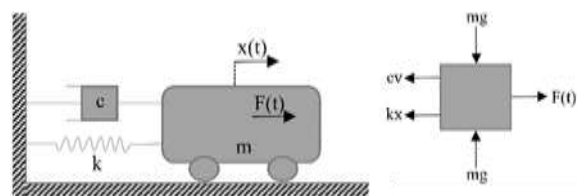


شده است (Babaei و همکاران، ۲۰۲۱؛ Babaei و همکاران، ۲۰۲۲؛ Hanafi و Babaei، ۲۰۲۲).

اما باین وجود، بسیاری از روش‌های ارائه شده برای حل معادله دیفرانسیل معمولی مرتبه دوم ارتعاشات الگوریتم پیچیده‌ای دارند و گاهی از ریاضیات پیشرفته در فرمول‌بندی خود استفاده می‌کنند که این امر به نوبه خود نیازمند تخصص فنی می‌باشد. هدف مقاله حاضر، ارائه یک روش تحلیلی عددی ساده دارای قابلیت برنامه‌نویسی کامپیوتری ساده و انجام تحلیل دقیق برای حل معادله دیفرانسیل ارتعاش سیستم‌های یک درجه آزادی می‌باشد. روش ارائه شده به طور قابل مقایسه‌ای دقیق بوده و ارزیابی پاسخ دینامیکی سیستم‌های یک درجه آزادی را تحت اثر انواع تحریک‌های دلخواه امکان‌پذیر می‌کند. این روش نیوتن-کاتس-تتای چهار نقطه‌ای نامیده می‌شود چرا که در فرمول‌بندی خود قانون نیوتن-کاتس و همچنین قانون نیوتن-کاتس اصلاح شده مورد استفاده قرار گرفته است.

۲- بیان مسئله

شکل (۱) سیستم معادل جرم-فنر خطی تحت نیروی خارجی $F(t)$ را نشان می‌دهد. این سیستم از سه مؤلفه اصلی تشکیل شده است: مؤلفه جرم، فنر و میراگر. هر مؤلفه از این سیستم می‌تواند دارای رفتار خطی یا غیر خطی باشد. لازم به ذکر است، اغلب سیستم‌های واقعی در طول رخداد زلزله وارد حوزه رفتاری غیرخطی می‌شوند که این امر ناشی از رفتار غیر خطی فنر در جابه‌جایی‌های بزرگ و یا به علت رخداد رفتارهای غیرخطی در مدل‌های میرایی غیرویسکوز می‌باشد (Ge و همکاران، ۲۰۲۲؛ Meirovitch و همکاران، ۱۹۸۶). از این رو، نیروی ایجاد شده توسط هر مؤلفه از این سیستم در حالت کلی تابعی از جابه‌جایی و سرعت خواهد بود. در چنین مواردی، باید مستقیماً از فرم بنیادین معادله ارتعاشات، در فرمول‌بندی عددی استفاده کرد (Wu، ۲۰۱۳).



شکل ۱- مدل ریاضی (تحلیلی) سیستم خطی معادل جرم-فنر

برای حصول به فرم بنیادین معادله ارتعاش، فرض می‌کنیم، مؤلفه جابه‌جایی نسبی (تغییر شکل فنر) را با x ، سرعت نسبی را با v و شتاب نسبی سیستم را با a ، نشان می‌دهیم؛ حال، معادله دیفرانسیل حاکم بر حرکت سیستم‌های غیرخطی تحت نیروی خارجی، را به صورت زیر ارائه می‌دهیم:

می‌شود (Paz M و Leigh W، ۱۹۹۷؛ Bathe، ۱۹۹۶؛ Fombrune، ۱۹۸۶).

در این راستا، حل معادله دیفرانسیل معمولی مرتبه دوم برای یک سیستم یک درجه آزادی تحت تحریک تکیه‌گاهی همیشه مورد توجه بسیاری از محققان بوده است (Veletsos و همکاران، ۱۹۶۵؛ Chopra و همکاران، ۲۰۰۳؛ Izadifard و همکاران، ۲۰۱۶؛ Newmark، ۱۹۵۹).

روش‌های شبه‌تحلیلی در حوزه فرکانس (مانند، انتگرال فوریه) یا روش‌های شبه‌تحلیلی دامنه زمانی (مانند، انتگرال دوهمال) اغلب پاسخ نهایی سیستم را با استفاده از اصل جمع آثار قوا روی مؤلفه‌های پاسخی به دست آمده، محاسبه می‌کنند. از آنجایی که، این روش‌ها از اصل جمع آثار قوا پیروی می‌کنند، قابلیت تحلیل سیستم‌های غیرخطی را ندارند؛ چرا که اصل جمع آثار قوا فقط برای سیستم‌های خطی کاربرد دارد. از سوی دیگر، روش‌های گام‌به‌گام مانند روش درون‌یابی از تابع تحریک، تفاضل محدود مرکزی، رانگ-کوتا و نیومارک-بتا (Clough و Penzien، ۱۹۷۵؛ Paz M و Leigh W، ۲۰۰۴) برای سیستم‌های سازه‌ای غیرخطی ارائه شده‌اند.

امروزه در مقالات روش‌های عددی زیادی برای تحلیل پاسخ دینامیکی سازه‌های ساختمانی وجود دارد. گزارش فنی منتشر شده توسط گروه مهندسان ارتش آمریکا، دقت و کارایی برخی از روش‌های گام‌به‌گام عددی را در برآورد پاسخ دینامیکی سیستم‌های یک درجه آزادی در برابر بارهای ضربه‌ای وابسته به زمان ارزیابی کرده که این مطالعات عمدتاً بر روی روش‌های ویلسون-تتا، روش شتاب خطی، نیومارک-بتا، روش تفاضل محدود مرکزی، روش رانگ-کوتا مرتبه چهارم، انتگرال دوهمال و روش‌های چند گامی تمرکز کرده‌اند (Ebeling و همکاران، ۱۹۹۷).

عملکرد و پایداری روش نیومارک در حل سیستم‌های غیرخطی یک درجه آزادی توسط Chang با استفاده از چند مثال عددی ارزیابی و تأیید شده است (Chang، ۲۰۰۴).

سپس تبدیل لاپلاس برای تحلیل سیستم‌های معادل سازی شده با سیستم یک درجه آزادی جرم استفاده شده است (Kazakov، ۲۰۰۸).

سال‌ها بعد، Kurt و Cevik بسط تیلور را برای توسعه یک روش عددی ساده برای محاسبه پاسخ لرزه‌ای سیستم‌های سازه‌ای یک درجه آزادی پیشنهاد کردند (Cevik و Kurt، ۲۰۰۸).

Wu و Li یک روش تکرارشونده برای محاسبه پاسخ غیرخطی سیستم‌های پایدار یک درجه آزادی ارائه دادند (Wu و Li، ۲۰۰۴). اخیراً نیز، دو روش تحلیلی جدید توسط Babaei و همکاران برای تحلیل پاسخ دینامیکی سیستم‌های خطی و غیرخطی ارائه داده

می‌توان به شکل زیر ساده کرد:

$$kx + cv + ma = -ma_g \quad (۴)$$

با تقسیم طرفین رابطه (۴) به جرم سیستم (m)، معادله دیفرانسیل حرکت سیستم‌های خطی تحت شتاب زلزله به صورت زیر بیان می‌شود:

$$\omega_n^2 x + 2\zeta\omega_n v + a = -a_g \quad (۵)$$

که در رابطه (۵)، $\omega_n = \sqrt{\frac{k}{m}}$ فرکانس طبیعی سیستم و $\zeta = \frac{c}{2m\omega_n}$ نسبت میرایی سیستم می‌باشد. این فرمول، شکل ساده‌ای از معادله ارتعاش برای سیستم‌های خطی می‌باشد که آن را در فرمول‌بندی‌های خود استفاده خواهیم کرد.

در سیستم‌های مطرح مهندسی سازه، غالباً به جای نیروهای خارجی، تحریک از نوع شتاب زلزله عارض می‌شود که اغلب به صورت تابعی گسسته نسبت به زمان t_i ارائه می‌گردد و از بازه $i = 1$ تا N می‌باشد. متغیر N تعداد نقاط زمانی و $N - 1$ تعداد گام‌های زمانی را نشان می‌دهد. گام زمانی، $h = t_i + 1 - t_i$ معمولاً ثابت فرض می‌شود. در روش‌های گام‌به‌گام انتگرال‌گیری، معادله دیفرانسیل حرکت باید در لحظه t_i ارضا گردد:

$$F_{S,i} + F_{D,i} + m_i a_i = -m_i a_{g,i} \quad (۶)$$

در رابطه (۶)، $F_{S,i} = F_S(x_i, v_i)$ ، $F_{D,i} = F_D(x_i, v_i)$ ، $m_i = m(t_i)$ و $a_{g,i} = a_g(t_i)$ می‌باشد. هدف از ارائه الگوریتم‌های عددی موجود، تخمین پاسخ در t_{i+1} با دانستن پاسخ در لحظه t_i می‌باشد؛ بنابراین، معادله دیفرانسیل حرکت باید در لحظه t_{i+1} ارضا گردد؛ بنابراین داریم:

$$F_{S,i+1} + F_{D,i+1} + m_{i+1} a_{i+1} = -m_{i+1} a_{g,i+1} \quad (۷)$$

در رابطه (۷)، $F_{S,i+1} = F_S(x_{i+1}, v_{i+1})$ ، $F_{D,i+1} = F_D(x_{i+1}, v_{i+1})$ ، $m_{i+1} = m(t_{i+1})$ و $a_{g,i+1} = a_g(t_{i+1})$ می‌باشد. در ادامه، مفاهیم اولیه روش ارائه شده برای محاسبه پاسخ سیستم در لحظه t_{i+1} با استفاده از معادلات (۶) و (۷) و روابط بازگشتی آن ارائه می‌گردد.

۳- مبانی روش نیوتن- کاتس- تتای- چهار نقطه‌ای

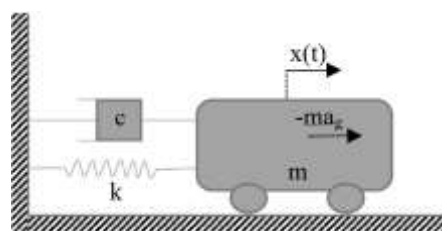
برای آشنایی و درک بهتر فرمول‌بندی روش نیوتن- کاتس- تتای چهار نقطه‌ای، ابتدا روابط اولیه حاکم بین شتاب و سرعت و جابه‌جایی و سرعت را یادآوری می‌کنیم. در گام اول باتوجه به شکل (۳)، نمودار شماتیک شتاب-زمان روش نیوتن- کاتس- تتای چهار نقطه‌ای را تعریف می‌کنیم و با استفاده از مبانی این روش روابط حاکم بین شتاب و سرعت و جابه‌جایی و سرعت را بیان می‌کنیم.

$$F_S(x, v) + F_D(x, v) + m(t) a = F(t) \quad (۱)$$

رابطه (۱)، جامع‌ترین شکل بیان معادله ارتعاش است که در آن غیرخطی بودن، ناشی از تغییرات جرم سیستم نیز در نظر گرفته شده است. اگرچه تغییرات جرم سیستمی ممکن است منجر به غیرخطی شدن معادله گردد، با این حال، در تئوری ارتعاشات سازه‌ها جرم سیستم ثابت فرض می‌شود. در رابطه بالا پارامترهای داخل پرانتز صرفاً برای تأکید بر غیرخطی بودن مؤلفه‌های متناظر هستند. حال با فرض خطی بودن رفتار فنر $F_S = kx$ و رفتار میرایی ویسکوز $F_D = cv$ معادله فوق را به صورت زیر بازنویسی می‌کنیم:

$$kx + cv + ma = F(t) \quad (۲)$$

در رابطه (۲)، k ثابت فنر، c نسبت میرایی ویسکوز، m جرم سیستم می‌باشد که در طول ارتعاش ثابت است و $F(t)$ نیروی خارجی وابسته به زمان (تحریک) می‌باشد. هنگامی که این سیستم در معرض جابه‌جایی‌های تکیه‌گاهی $x_g = x_g(t)$ قرار می‌گیرد، می‌توان آن را با سیستمی که در شکل (۲) نشان داده شده است، معادل در نظر گرفت.



شکل ۲- مدل ریاضی (تحلیلی) سیستم خطی معادل جرم- فنر تحت اثر مؤلفه جابه‌جایی

در این شکل $-ma_g$ جایگزین نیروی $F(t)$ موجود در رابطه (۱) شده است که $x_g = x_g(t)$ شتاب تکیه‌گاه و x جابه‌جایی نسبی (تغییر شکل) فنر می‌باشد. بر این اساس، باتوجه به تئوری‌های ارائه شده در متون فنی Li, Paz و مبانی دینامیک سازه Chopra (Chopra, ۲۰۱۲؛ Leigh W, Paz M و ۱۹۹۷) معادله دیفرانسیل حرکت برای سیستم‌های غیرخطی تحت اثر زلزله به صورت زیر ارائه می‌شود:

$$F_S(x, v) + F_D(x, v) + m(t) a = -m(t) a_g \quad (۳)$$

رابطه (۳) نشان می‌دهد که دو سیستم با فرکانس طبیعی و نسبت میرایی برابر، صرف‌نظر از اینکه نسبت به دیگری سخت‌تر یا سنگین‌تر باشند، دارای پاسخ تاریخچه زمانی یکسانی خواهد بود. اگر مؤلفه‌های این سیستم رفتار خطی داشته باشند، $F_S(x, v) = kx$ ، $F_D(x, v) = cv$ و $m(t) = m$ می‌باشد، معادله (۳) را

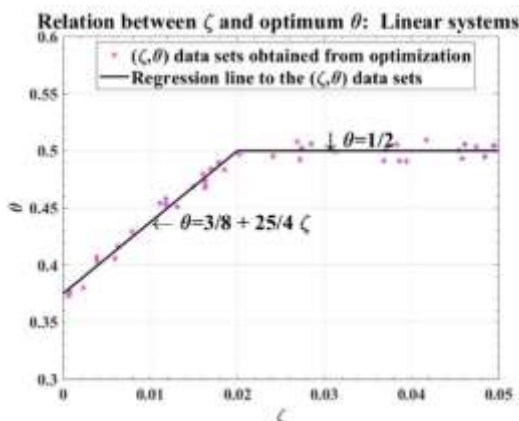
میرایی زیاد فرمول انتگرال گیری سرعت از قاعده نیوتن- کاتس به قانون دوزنقه مرکب در سه گام متوالی تغییر یابد:

$$v_{i+1} = v_{i-2} + h \left[\frac{1}{2} a_{i-2} + 1 a_{i-1} + 1 a_i + \frac{1}{2} a_{i+1} \right] \quad (14)$$

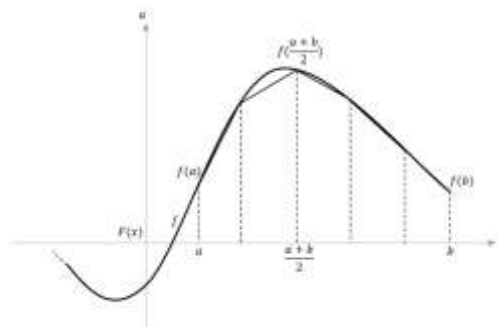
جفت معادلات (۱۲) و (۱۴) نیز برای سیستم‌های با میرایی زیاد ($\zeta \geq 0.02$) در سیستم‌های خطی و ($\zeta \geq 0.01$) در سیستم‌های غیرخطی پاسخ‌های دقیقی را ارائه می‌دهد. حال برای سیستم‌هایی که میرایی آن‌ها مابین صفر و مقادیر فوق می‌باشد، فرمول سرعت باید به فرمی بینابین دو فرمول نیوتن- کاتس و دوزنقه مرکب باشد. برای حصول به چنین فرمولی، بایستی مقادیر ضرایب وزنی دو فرمول مذکور را بر حسب پارامتری مانند θ تا به صورت زیر درون‌یابی شود:

$$v_{i+1} = v_{i-2} + h \left[\theta a_{i-2} + \frac{(3-2\theta)}{2} a_{i-1} + \frac{(3-2\theta)}{2} a_i + \theta a_{i+1} \right] \quad (15)$$

که در آن، پارامتر θ یک پارامتر تعیین کننده برای تنظیم پایداری و هم‌گرایی فرمول بندی فوق‌الذکر، بین سیستم‌های میرا و نامیرا می‌باشد که مقدار آن از $\frac{1}{4}$ تا $\frac{3}{8}$ متغیر است. برای یافتن رابطه‌ای بین نسب میرایی (ζ) و پارامتر θ ، تعدادی مثال نمونه همانند مثال‌های (۱) و (۲) با مقادیر تصادفی نسبت میرایی و دوره تناوب حل شد، و برای این مثال‌ها مقدار θ تا θ طوری بهینه‌یابی شد که خطای بین منحنی پاسخ (منحنی درشت‌گام) و منحنی پاسخ دقت بالا (منحنی ریزگام)، به پایین‌ترین حد ممکن رسید. نتایج به‌دست آمده از مقادیر بهینه پارامتر θ بر حسب نسبت میرایی (ζ) برای سیستم‌های خطی در شکل (۴) و برای سیستم‌های غیرخطی نیز در شکل (۵) نشان داده شده است.



شکل ۴- خط برازش پارامتر θ بر حسب نسبت میرایی (ζ) در سیستم‌های خطی



شکل ۳- نمودار شماتیک شتاب بر حسب زمان برای روش نیوتن- کاتس- تنای چهار نقطه‌ای

در این راستا، اگر $x = x(t)$, $v = v(t)$, $a = a(t)$ باشد؛ می‌توان نوشت:

$$a = \frac{dv}{dt} \quad (8)$$

$$v = \frac{dx}{dt} \quad (9)$$

با استفاده از قانون دوم حساب دیفرانسیل و انتگرال برای معادله دیفرانسیلی (۸) و (۹)، می‌توان نوشت:

$$v_{i+1} - v_{i-2} = \int_{t_{i-2}}^{t_{i+1}} a(t) dt \quad (10)$$

$$x_{i+1} - x_{i-2} = \int_{t_{i-2}}^{t_{i+1}} v(t) dt \quad (11)$$

اگر انتگرال سمت راست رابطه (۱۰) و (۱۱)، را با استفاده از قانون نیوتن- کاتس- چهار نقطه‌ای، تخمین بزنیم، داریم:

$$v_{i+1} = v_{i-2} + h \left(\frac{3}{8} a_{i-2} + \frac{9}{8} a_{i-1} + \frac{9}{8} a_i + \frac{3}{8} a_{i+1} \right) \quad (12)$$

$$x_{i+1} = x_{i-2} + h \left[\frac{3}{8} v_{i-2} + \frac{9}{8} v_{i-1} + \frac{9}{8} v_i + \frac{3}{8} v_{i+1} \right] \quad (13)$$

که در رابطه (۱۲) (Stoer و Evtushenko، ۱۹۸۵)، $v_{i-2} = v(t_{i-2})$, $v_i = v(t_i)$, $v_{i-1} = v(t_{i-1})$, $v_{i+1} = v(t_{i+1})$ سرعت سیستم در لحظات متوالی زمانی و $a_{i-2} = a(t_{i-2})$, $a_i = a(t_i)$, $a_{i-1} = a(t_{i-1})$, $a_{i+1} = a(t_{i+1})$ شتاب سیستم در آن مقاطع زمانی می‌باشند. همچنین، $t_{i-1} = t_i - h$, $t_{i-2} = t_i - 2h$ ، $t_{i+1} = t_i + h$ ، $t_i - h$ در چهار مقطع متوالی هستند. با بررسی‌های انجام شده در این تحقیق، جفت فرمول‌های (۱۲) و (۱۳)، عملکرد خوبی در تحلیل سیستم‌های پایستار یا به عبارت دیگر نامیرا ($\zeta = 0$) دارند؛ ولی در سیستم‌های میرا پاسخ سیستم را با خطای قابل ملاحظه‌ای تخمین می‌زنند. به همین علت، در این تحقیق پیشنهاد می‌شود که برای سیستم‌های با

$$x_{i+1} = x_i + h \left(\frac{1}{2} v_i + \frac{1}{2} v_{i+1} \right) + h^2 \left(\frac{1}{12} a_i - \frac{1}{12} a_{i+1} \right) \quad (19)$$

در روابط فوق، $i = 1, 2$ می‌باشد؛ لازم است، مقدار شتاب a_{i+1} را در هم‌زمان با x_{i+1} و v_{i+1} محاسبه و به‌روزرسانی کنیم. معادله حرکت حاوی اطلاعات حرکتی وضعیت سیستم در هر لحظه می‌باشد و در صورت ارائه داده‌های دقیق از x_{i+1} و v_{i+1} ، جزئیات دقیقی از حرکات نوسانی را ارائه می‌دهد؛ بنابراین، این مؤلفه سینماتیکی به‌طور مستقیم از روی معادله دیفرانسیل حرکتی به‌شرح زیر محاسبه می‌شود:

$$a_{i+1} = - (m_{i+1} a_{g,i+1} + F_{s,i+1} + F_{d,i+1}) / m_{i+1} \quad (20)$$

به‌طور مشابه نیز، شتاب سیستم‌های خطی را می‌توانیم از رابطه زیر محاسبه کنیم:

$$a_{i+1} = - (a_{g,i+1} + \omega_n^2 x_{i+1} + 2\omega_n \zeta v_{i+1}) \quad (21)$$

برای تسریع فرایند الگوریتم روش نیوتن-کاتس-تتای چهار نقطه‌ای، از بسط تیلور برای محاسبه پاسخ اولیه در شروع هر مرحله استفاده می‌شود:

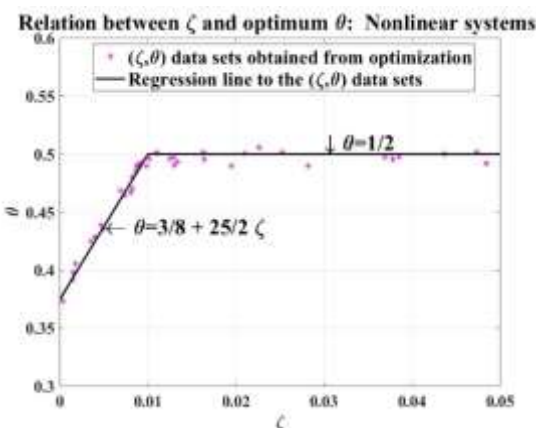
$$x_{i+1} = x_i + v_i h + \frac{1}{2} a_i h^2 \quad (22)$$

$$v_{i+1} = v_i + a_i h \quad (23)$$

فرمول‌های ارائه‌شده، مبانی روش نیوتن-کاتس-تتای چهار نقطه‌ای را تشکیل می‌دهند. این الگوریتم می‌تواند سیستم‌های خطی و غیرخطی را که دارای هر نوع رفتار غیرخطی در مؤلفه‌های سیستمی می‌باشند، کامل و دقیق تحلیل کند. با ساده‌سازی الگوریتم غیرخطی، به نسخه خطی این روش دست می‌یابیم. الگوریتم نظام‌مند این روش‌ها برای سیستم‌های خطی و غیرخطی در جدول (۲) آورده شده است. باین‌حال، الگوریتم خطی تنها قادر به تحلیل سیستم‌های خطی می‌باشد.

۴- مثال‌ها

در این بخش، سه مثال عددی برای مقایسه روش جدید با سایر روش‌های موجود ارائه شده است. مدل‌سازی مثال‌ها در نرم‌افزار متلب انجام شده است. بارگذاری‌ها نیز با رکورد زلزله ال‌سنترو^۴ که در شکل (۷) نشان داده شده است، انجام می‌شود. در مثال اول یک سیستم خطی پایستار، در مثال دوم یک سیستم غیرخطی میرا و در مثال سوم یک سیستم خطی میرا مورد بررسی قرار گرفته است. مشخصات سیستم‌های خطی و غیرخطی مثال‌ها



شکل ۵- خط برازش پارامتر (θ) برحسب نسبت میرایی (ζ) در سیستم‌های غیرخطی

معادله خط برازش شکل (۴) به‌صورت زیر ارائه می‌گردد:

$$\theta = \min \left\{ \frac{3}{8} + \frac{25}{4} \zeta, 0.5 \right\} \quad (16)$$

همچنین، به‌روش مشابه معادله خط برازش شکل (۵) نیز به‌ترتیب زیر خواهد بود:

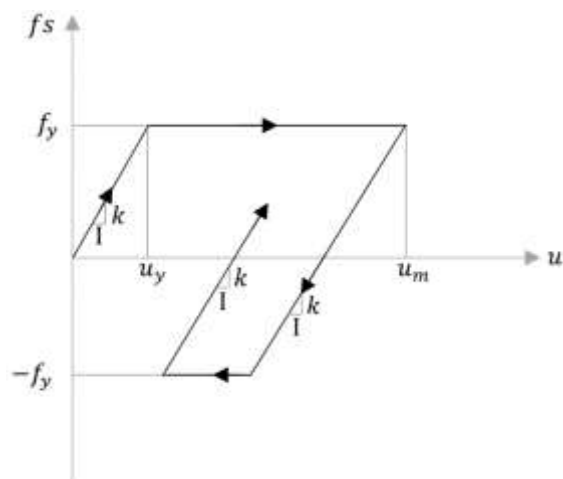
$$\theta = \min \left\{ \frac{3}{8} + \frac{25}{2} \zeta, 0.5 \right\} \quad (17)$$

در شکل‌های (۴) و (۵)، مقادیر به‌دست‌آمده از روند مذکور و خط برازش داده‌های تجربی فوق (خط سیاه‌رنگ)، رابطه بین نسبت میرایی (ζ) و پارامتر تتا (θ) را نشان می‌دهد. به‌دلیل حجم بالای داده‌های آماری، فقط خروجی مثال‌های حل‌شده در اشکال فوق ارائه شده است. با استفاده از این مقدار بهینه پارامتر (θ)، فرمول‌بندی ارائه‌شده در صورت صفر بودن مقدار نسبت میرایی ($\zeta = 0$) تبدیل به فرمول نیوتن-کاتس-تتای چهار نقطه‌ای شده و در میرایی‌های $0.02 \leq \zeta$ و بزرگتر ($\zeta \geq 0.02$) تبدیل به فرمول دوزنقه می‌شود. همچنین، باید توجه داشت که در سیستم‌های خطی مرز جدایی 0.02 ، اما در سیستم‌های غیرخطی این مقدار برابر با 0.01 می‌باشد.

برای شروع محاسبات تحلیلی، ما به اطلاعات گام‌های اول، دوم و سوم نیازمندیم. اطلاعات موردنیاز در گام اول با شرایط اولیه داده می‌شود درحالی‌که گام‌های دوم و سوم باید توسط مجموعه‌ای از فرمول‌های تک‌مرحله‌ای تحلیل گردند. فرمول‌های آدامز-مولتون^۳ دو نقطه‌ای ساده و آدامز-مولتون دو نقطه‌ای تصحیح‌شده می‌توانند مجموعه مناسبی از معادلات برای محاسبه x_2, x_3, v_2 و v_3 باشند، در این راستا می‌توان نوشت:

$$v_{i+1} = v_i + h \left(\frac{1}{2} a_i + \frac{1}{2} a_{i+1} \right) \quad (18)$$

مطلب، طیف پاسخ الاستیک تمامی روش‌ها در شکل (۱۰) ارائه شده‌است. در این شکل خطای تغییر فاز سیستم در روش‌های نیومارک-بتا و ویلسون-تتا در دوره تناوب‌های کوچک به‌وضوح قابل مشاهده می‌باشد. لازم به ذکر است این خطا با کوچک‌تر کردن گام تحلیل‌ها قابل رفع می‌باشد؛ ولی زمان و هزینه آن‌ها را می‌افزاید.



شکل ۶- مدل رفتاری الاستوپلاستیک نیرو بر حسب تغییر شکل در مثال (۲)

۴-۲- مثال (۲): سیستم غیرخطی تحت اثر زلزله ال سنترو در مثال حاضر، یک سیستم غیرخطی تحت تحریک زلزله ال سنترو تحلیل شده و نتایج آن در شکل (۱۱) نشان داده شده است. برای شناسایی رفتار غیرخطی مؤلفه فنر، ابتدا باید حداکثر جابه‌جایی خصوصیات خطی سیستم را محاسبه کنیم. اگرچه، این سیستم در مثال قبل تحلیل شده است، اما در این مثال با گام‌های ریزتر $h = 0.0001 \text{ sec}$ ، سیستم مجدداً مورد تحلیل و ارزیابی قرار می‌گیرد تا تخمین دقیق‌تری از حداکثر تغییر شکل الاستیک $x_{max,elastic}$ به دست آید. همان‌طور که در شکل (۹) نشان داده شده است، تغییر شکل ماکزیمم برابر با $x_{max,elastic} = 0.402878 \text{ cm}$ که در زمان $t = 10.165 \text{ sec}$ رخ می‌دهد. حال رفتار غیرخطی سیستم را به صورت شکل (۶) تعریف می‌کنیم. مقدار نیروی تسلیم به صورت μf_0 می‌باشد که در آن μ ضریب شکل‌پذیری و f_0 نیروی مقاوم بیشینه بوده و در سیستم‌های الاستیک به صورت زیر می‌باشد:

$$f_0 = kx_{Max,Elastic} = 1800 \times 0.4028782 \text{ cm} = 725.1723 \text{ kN} \quad (22)$$

با فرض $\mu = 0.25$ می‌توان نوشت:

$$f_y = \mu f_0 = 0.25 \times 725.1723 = 181.29 \text{ kN} \quad (23)$$

در جدول (۱) آورده شده است. لازم به ذکر است که در مثال دوم رفتار فنر غیرخطی بوده و عامل غیرخطی بودن سیستم نیز از رفتار فنر نشئت می‌گیرد. باتوجه به اینکه گام تحلیلی در مثال‌ها 0.01 ، و گام تحلیلی زلزله ال سنترو 0.02 می‌باشد؛ بدین جهت، در نقاط میانی از درون یابی خطی برای مشخص کردن مقادیر شتاب‌نگاشت زمین استفاده کرده‌ایم.

جدول ۱- مشخصات سیستم‌های خطی و غیرخطی تحت اثر زلزله ال- سنترو در مثال‌های (۱)، (۲) و (۳)

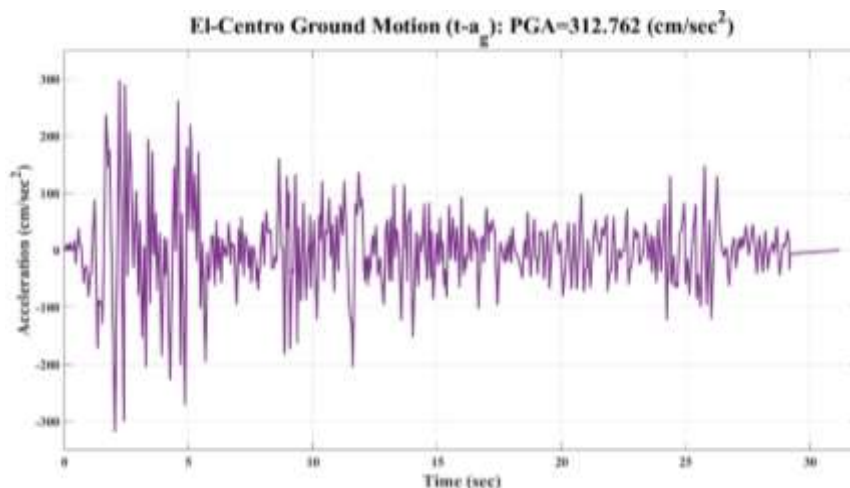
مشخصات سیستم	مثال (۱)	مثال (۲)	مثال (۳)
جرم (کیلوگرم)	۴۵/۵۹۴	۴۵/۵۹۴	۴۵/۵۹۴
دوره تناوب (پریود) طبیعی (ثانیه)	۰/۱	۰/۱	۰/۱
نسبت میرایی	۰/۰۰	۰/۰۰	۰/۰۵
ثابت فنر (کیلو نیوتن بر سانتی‌متر)	۱۸۰۰	۱۸۰۰	۱۸۰۰
گام زمانی رکورد زلزله (ثانیه)	۰/۰۲	۰/۰۲	۰/۰۲
گام زمانی تحلیل (ثانیه)	۰/۰۱	۰/۰۱	۰/۰۱

۴-۱- مثال (۱): سیستم خطی تحت اثر زلزله ال- سنترو

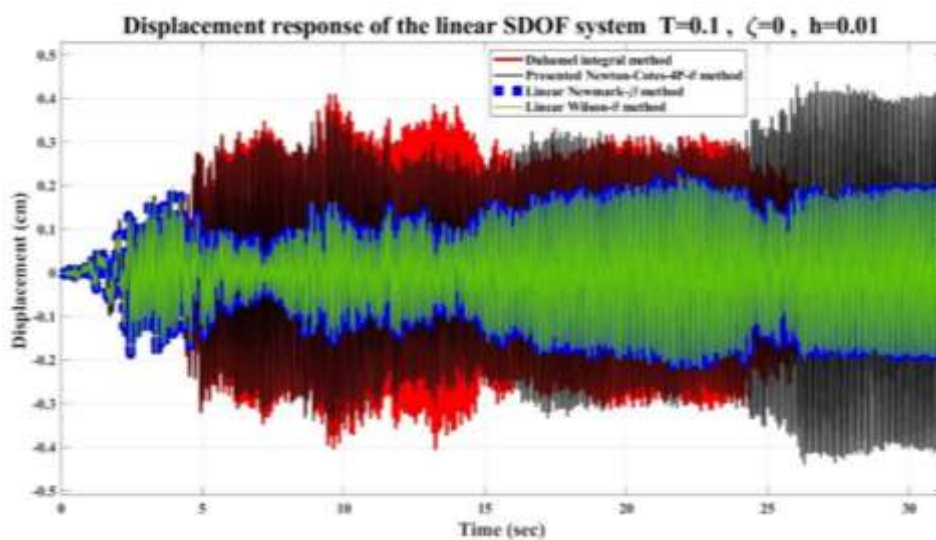
در این مثال یک سیستم یک درجه آزاد خطی تحت تحریک زلزله ال- سنترو تحلیل و ارزیابی شده است. این سیستم در لحظه آغازین، از مبدأ مختصات و از حالت سکون شروع به حرکت می‌کند. نتایج ارزیابی و پاسخ ریزگام روش ارائه شده به ترتیب در شکل‌های (۸) و (۹) نشان داده شده است. همان‌طور که در شکل (۸) نشان داده شده، پاسخ سیستم با استفاده از روش انتگرال دوهمال، روش جدید نیوتن-کاتس-تتای چهار نقطه‌ای و روش نیوماک-بتا محاسبه می‌شود. بدیهی است که روش جدید قادر به محاسبه دقیق‌تر منحنی پاسخ با گام زمانی تحلیل $h = 0.01 \text{ sec}$ می‌باشد. اما همان‌طور که انتظار می‌رفت روش انتگرال دوهمال بسیار دقیق عمل می‌کند؛ اما این روش در مقایسه با روش جدید بسیار زمان‌بر است. لازم به ذکر است که روش ارائه شده و روش انتگرال دوهمال همگی پاسخ‌های تقریباً یکسان با اختلاف ناچیز ارائه می‌دهند، درحالی‌که روش نیومارک-بتا دارای خطا قابل ملاحظه‌ای می‌باشد. این خطای زیاد در روش‌های رایج به دلیل انحراف مقدار زمان تناوب سیستم از زمان تناوب واقعی آن در حین اجرای الگوریتم روش‌های مذکور بوده و غالباً در زمان تناوب‌های کمتر از 0.1 ثانیه عارض می‌شود. خطای حاضر در مراجع (Clough و Penzien، ۱۹۷۵؛ PAZ M و Leigh W، ۱۹۹۷) به خطای شیفت فاز معروف است. از آنجایی که سیستم‌های سازه‌ای اغلب دارای زمان تناوب‌های بزرگ‌تر از 0.1 ثانیه هستند، این خطا کمتر مورد توجه و بحث قرار می‌گیرد؛ اما برای محک‌زدن فرمول‌بندی‌ها بسیار حائز اهمیت می‌باشد. برای روشن شدن این

جدول ۲- الگوریتم روش نیوتن- کاتس- تتای چهار نقطه‌ای برای تحلیل خطی و غیرخطی سیستم‌های سازه‌ای یک درجه آزادی

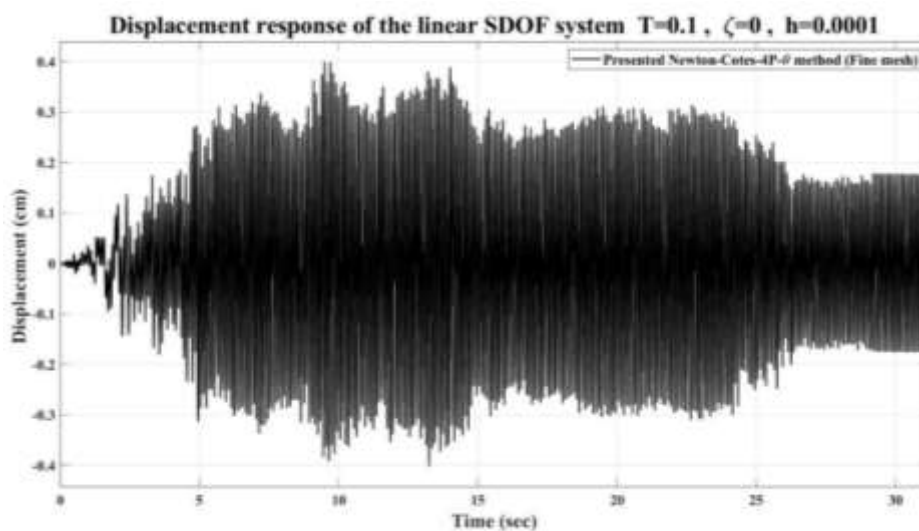
۱	مقداردهی اولیه با $i = 1$ $t_1 = 0. \quad x_1 = x(0). \quad v_1 = v(0).$ در سیستم خطی: $a_1 = -(a_{g,1} + \omega_n^2 x_1 + 2\omega_n \zeta v_1).$ در سیستم غیرخطی: $F_{s,1} = F_s(x_1). \quad F_{d,1} = F_d(v_1)$ $a_1 = -(ma_{g,1} + F_{s,1} + F_{d,1})/m.$
۲	محاسبه مقدار پارامتر θ در سیستم خطی: $\theta = \min\left\{\frac{3}{8} + \frac{25}{4}\zeta, 0.5\right\}$ انتخاب کرده یا به صورت دلخواه عددی از بازه $\theta = \frac{3}{8} = 0.375$ تا $\theta = \frac{1}{2} = 0.5$ انتخاب کنید. در سیستم غیرخطی: $\theta = \min\left\{\frac{3}{8} + \frac{25}{4}\zeta, 0.5\right\}$ انتخاب کرده یا به صورت دلخواه عددی از بازه $\theta = \frac{3}{8} = 0.375$ تا $\theta = \frac{1}{2} = 0.5$ انتخاب کنید.
۳	مقدار $i = i + 1$ قرار داده و پاسخ را در t_{i+1} تخمین بزنید. (یا همه مقادیر را صفر در نظر بگیرید): $x_{i+1} = x_i + v_i h + \frac{1}{2} a_i h^2$ $v_{i+1} = v_i + a_i h$
۴	روابط زیر را تا زمانی که x_{i+1} تا ارقام موردنظر ثابت شوند، تکرار کنید: به روزرسانی مقادیر شتاب در سیستم خطی: $a_{i+1} = -(a_{g,i+1} + \omega_n^2 x_{i+1} + 2\omega_n \zeta v_{i+1})$ به روزرسانی مقادیر شتاب در سیستم غیرخطی: $F_{s,i+1} = F_s(x_{i+1}), \quad F_{d,i+1} = F_d(v_{i+1})$ $a_{i+1} = -(ma_{g,i+1} + F_{s,i+1} + F_{d,i+1})/m$ محاسبه مقادیر جابجایی و سرعت در t_{i+1} با استفاده از فرمول‌های آدامز-مولتون: $v_{i+1} = v_i + h\left(\frac{1}{2}a_i + \frac{1}{2}a_{i+1}\right)$ $x_{i+1} = x_i + h\left(\frac{1}{2}v_i + \frac{1}{2}v_{i+1}\right) + h^2\left(\frac{1}{12}a_i - \frac{1}{12}a_{i+1}\right)$
۵	اگر $i < 3$ باشد، $i = i + 1$ قرار داده و مراحل ۳ تا ۵ را تکرار کنید؛ در غیر این صورت، به مرحله بعدی بروید.
۶	پاسخ سیستم را در t_{i+1} تخمین بزنید (یا همه آن‌ها را صفر قرار دهید): $x_{i+1} = x_i + v_i h + \frac{1}{2} a_i h^2$ $v_{i+1} = v_i + a_i h$
۷	روابط زیر را تا زمانی که x_{i+1} تا ارقام موردنظر تثبیت شود، تکرار کنید. به روزرسانی مقادیر شتاب در سیستم خطی: $a_{i+1} = -(a_{g,i+1} + \omega_n^2 x_{i+1} + 2\omega_n \zeta v_{i+1})$ به روزرسانی مقادیر شتاب در سیستم غیرخطی: $F_{s,i+1} = F_s(x_{i+1}), \quad F_{d,i+1} = F_d(v_{i+1})$ $a_{i+1} = -(ma_{g,i+1} + F_{s,i+1} + F_{d,i+1})/m$ به روزرسانی مقادیر جابجایی و سرعت در t_{i+1} با استفاده از فرمول‌های نیوتن- کاتس- چهار نقطه‌ای: $v_{i+1} = v_{i-2} + h\left[\theta a_{i-2} + \frac{(3-2\theta)}{2} a_{i-1} + \frac{(3-2\theta)}{2} a_i + \theta a_{i+1}\right]$ $x_{i+1} = x_{i-2} + h\left(\frac{3}{8}v_{i-2} + \frac{9}{8}v_{i-1} + \frac{9}{8}v_i + \frac{3}{8}v_{i+1}\right)$
۸	مقدار $i = i + 1$ قرار داده و مرحله ۶ تا ۸ را برای نمونه بعدی تکرار کنید. نکته مهم: جرم سیستم در طول ارتعاش بدون تغییر فرض می‌شود، یعنی $m(t) = m = cte$ می‌باشد. علاوه بر این، فرض می‌شود که $F_d =$ و $F_s = F_s(x)$ می‌باشد.



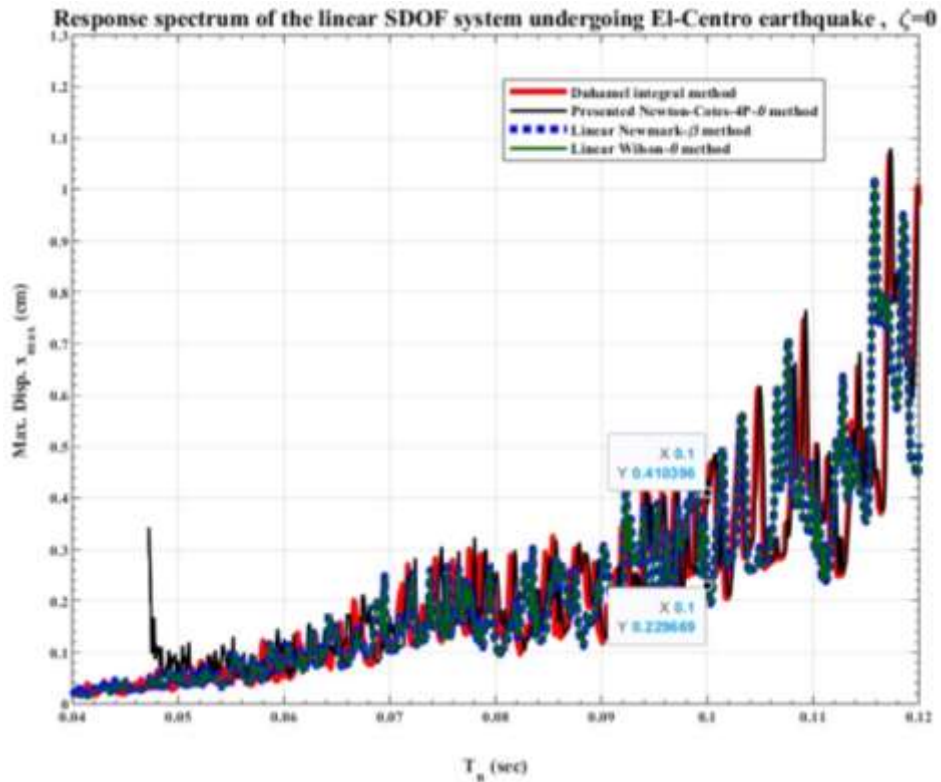
شکل ۷- رکورد زمین لرزه ال- سنترو



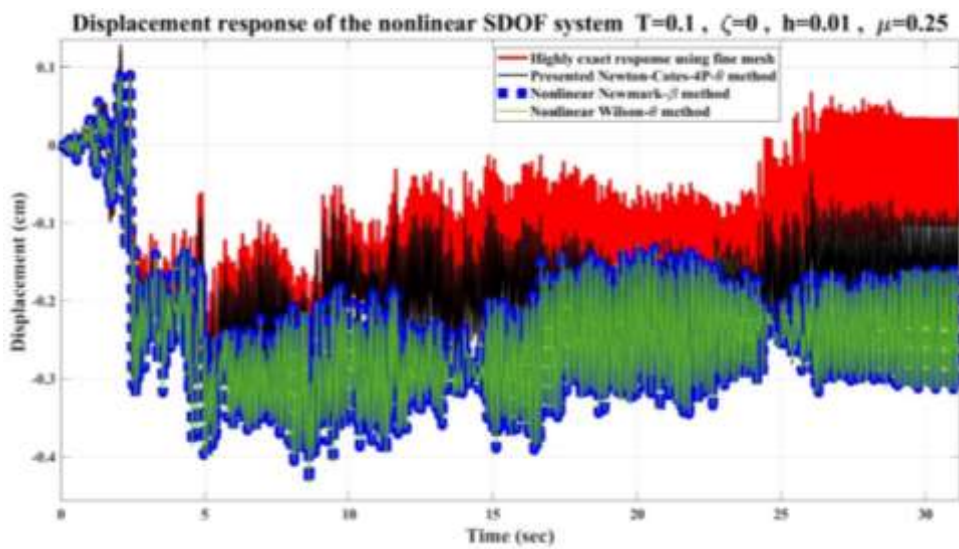
شکل ۸- پاسخ لرزهای تغییر مکان- زمان سیستم خطی یک درجه آزادی برای مثال (۱)



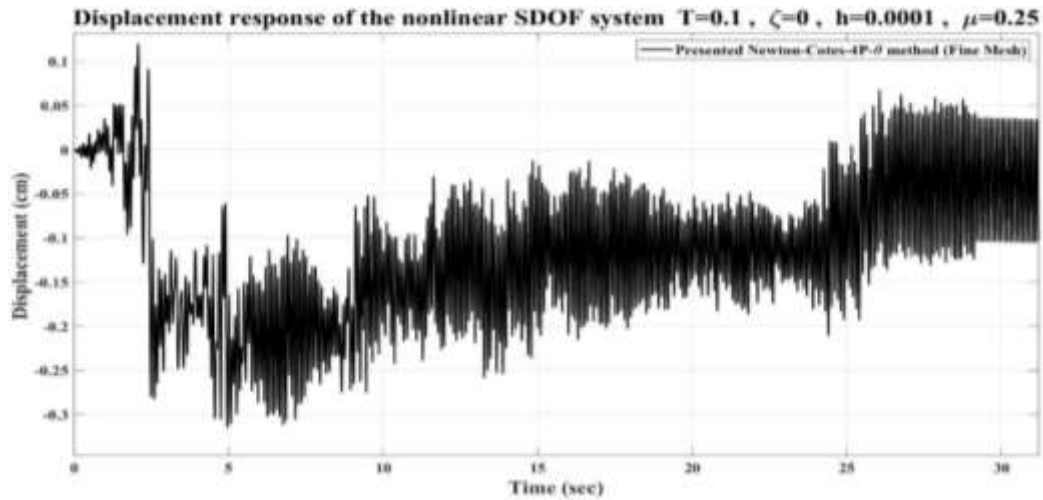
شکل ۹- پاسخ لرزهای ریزگام تغییر مکان- زمان سیستم خطی یک درجه آزادی برای مثال (۱)



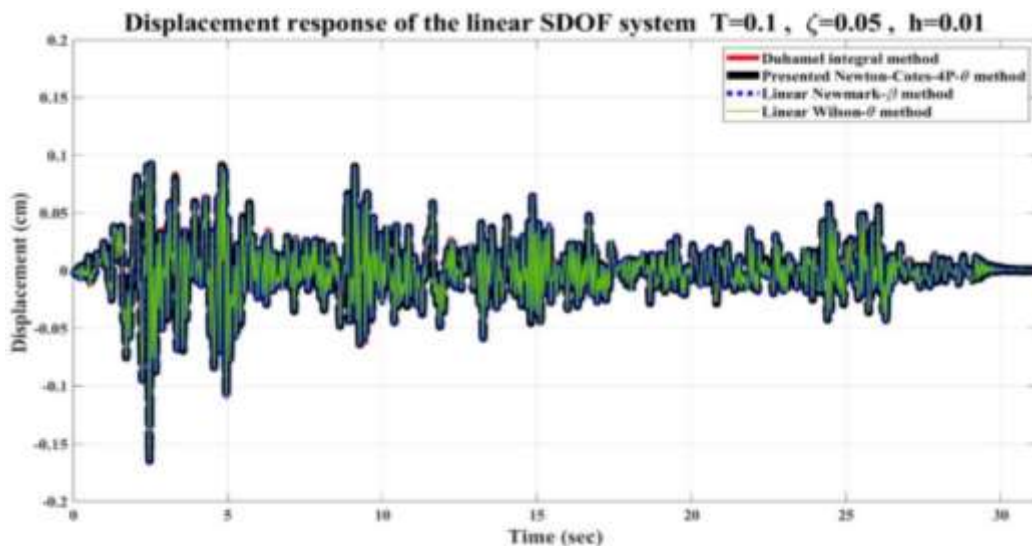
شکل ۱۰- طیف پاسخ الاستیک سیستم برای سیستم خطی یک درجه آزادی در مثال (۱)



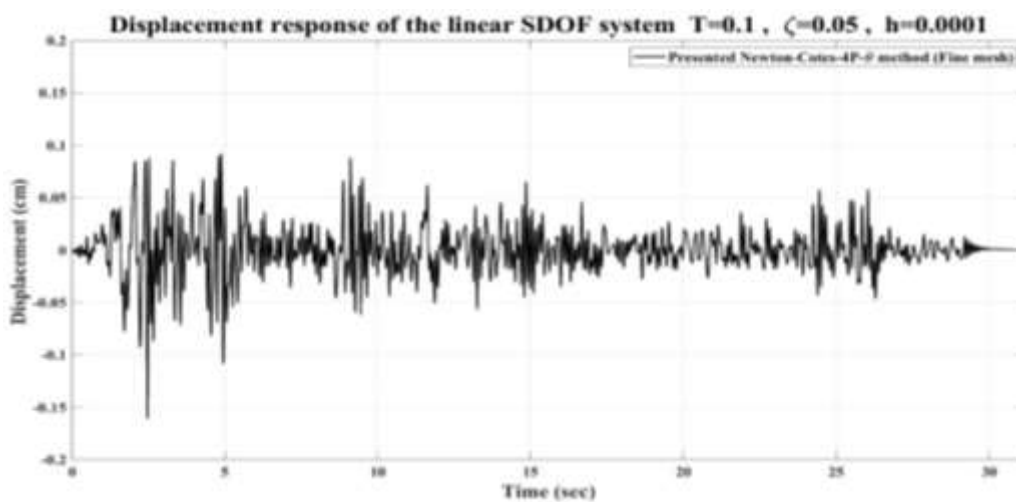
شکل ۱۱- پاسخ لرزه‌ای تغییرمکان- زمان سیستم غیرخطی یک درجه آزادی برای مثال (۲)



شکل ۱۲- پاسخ لرزه‌ای ریزگام تغییرمکان-زمان سیستم غیرخطی یک درجه آزادی برای مثال (۲)



شکل ۱۳- پاسخ لرزه‌ای تغییرمکان-زمان سیستم میرای خطی یک درجه آزادی برای مثال (۳)



شکل ۱۴- پاسخ لرزه‌ای ریزگام تغییرمکان-زمان سیستم میرای خطی یک درجه آزادی برای مثال (۳)

۴-۳- مثال (۳): سیستم میرای خطی تحت اثر زلزله ال سنتر و سیستم‌های میرای خطی فرضی تحت اثر زلزله ال- سنتر و تحلیل و مورد ارزیابی قرار می‌گیرد؛ سیستم در لحظه ابتدایی، از مبدأ مختصات (سکون) شروع به حرکت می‌کند. در این مثال برخلاف دو مثال قبلی نسبت میرایی پنج درصد در نظر گرفته شده است. نتایج ارزیابی و مقایسه روش ارائه‌شده در شکل (۱۳) و منحنی ریزگام روش مذکور در شکل (۱۴) نمایش داده شده است. نیومارک-بتا سریع‌ترین روش می‌باشد. لازم به ذکر است، روش ارائه‌شده از نظر سرعت هم‌پای روش‌های نیومارک-بتا و ویلسون-تتا نمی‌باشد و نسخه کنونی فرمول‌بندی حاضر، صرفاً از نظر دقت بر روش‌های فوق‌الذکر برتری دارد.

شکل (۱۱)، پاسخ‌های به‌دست‌آمده از روش جدید را با روش غیرخطی نیومارک-بتا و ویلسون-تتا مقایسه می‌کند. نتایج نشان می‌دهد که تطابق بهتری بین پاسخ به‌دست‌آمده از روش ارائه‌شده و پاسخ حاصل از روش نیومارک-بتا وجود دارد. مقادیر اوج تغییر مکان نیز مشابه هستند. پاسخ لرزه‌ای ریزگام سیستم غیرخطی روش ارائه‌شده نیز در شکل (۱۲) نشان داده شده است.

۵- نتایج و بحث

مقادیر حداکثر پاسخ و زمان تحلیل روش‌های مثال‌های (۱) تا (۳) به ترتیب در جداول (۳) تا (۵) خلاصه شده‌اند. با توجه به جداول (۳) تا (۵)، انتگرال دوهمال دارای پایین‌ترین سرعت و روش

جدول ۳- مدت‌زمان تحلیل و مقادیر حداکثر پاسخ لرزه‌ای سیستم خطی یک درجه آزادی در مثال (۱)

مؤلفه	دقت بالا روش انتگرال دوهمال	ارائه شده روش نیوتن-کاتس-تتای چهار نقطه‌ای	خطی روش نیومارک-بتا	دقت پایین روش ویلسون-تتا
جابه‌جایی بیشینه (سانتی‌متر)	۰/۴۱۰۴	۰/۴۳۹۶	۰/۲۲۹۷	۰/۲۲۹۷
سرعت بیشینه (سانتی‌متر بر ثانیه)	-	۲۶/۷۴۳۶	۱۳/۶۸۷۸	۱۳/۶۸۷۸
شتاب بیشینه (سانتی‌متر بر مجذور ثانیه)	-	۱۶۹۰/۳۷۴۵	۸۴۷/۵۵۸۸	۸۴۷/۵۵۸۸
تعداد گام تکرار شونده	۱	۲	۱	۲
جذر میانگین مربعات (RMS)	۰/۲۵۸۹	۰/۲۹۵۳	۰/۱۴۴۱	۰/۱۴۴۱
اختلاف جذر میانگین مربعات از پاسخ دقیق (%)	۰/۰۰	۱۴/۰۴۰۸	۴۴/۳۵۲۷	۴۴/۳۵۲۷
زمان تحلیل (ثانیه)	۰/۰۸۴۶	۰/۰۰۱۲	۰/۰۰۰۲	۰/۰۰۳۴

جدول ۴- مدت‌زمان تحلیل و مقادیر حداکثر پاسخ لرزه‌ای سیستم غیرخطی یک درجه آزادی در مثال (۲)

مؤلفه	دقت بالا روش انتگرال دوهمال	ارائه شده روش نیوتن-کاتس-تتای چهار نقطه‌ای	خطی روش نیومارک-بتا	دقت پایین روش ویلسون-تتا
جابه‌جایی بیشینه (سانتی‌متر)	۰/۳۱۴۹	۰/۳۴۷۵	۰/۴۳۴۷	۰/۴۳۴۷
سرعت بیشینه (سانتی‌متر بر ثانیه)	۸/۰۱۸۲	۸/۲۶۰۷	۸/۲۱۶۶	۸/۲۱۶۶
شتاب بیشینه (سانتی‌متر بر مجذور ثانیه)	۴۰۴/۴۱۰۶	۴۱۲/۶۰۲۶	۴۰۲/۳۶۶۸	۴۰۲/۳۶۶۸
تعداد گام تکرار شونده	۵	۳	۵	۳
جذر میانگین مربعات (RMS)	۰/۱۴۵۵	۰/۱۹۱۱	۰/۲۶۰۵	۰/۲۶۰۵
اختلاف جذر میانگین مربعات از پاسخ دقیق (%)	۰/۰۰	۳۱/۳۷۸۶۳	۷۹/۰۷۰۹	۷۹/۰۷۰۹
زمان تحلیل (ثانیه)	۰/۲۷۵۰	۰/۰۰۲۹	۰/۰۰۰۴	۰/۰۰۱۳

جدول ۵- مدت‌زمان تحلیل و مقادیر حداکثر پاسخ لرزه‌ای سیستم میرای خطی یک درجه آزادی در مثال (۳)

مؤلفه	دقت پاسخ بالا منحنی ریزگام	ارائه شده روش نیوتن-کاتس-تتای چهار نقطه‌ای	غیرخطی روش نیومارک-بتا	دقت پایین روش ویلسون-تتا
جابه‌جایی بیشینه (سانتی‌متر)	۰/۱۵۹۷	۰/۱۶۷۱	۰/۱۶۷۰	۰/۱۶۷۰
سرعت بیشینه (سانتی‌متر بر ثانیه)	-	۷۲/۸۸۰۳	۷۸/۵۲۷۱	۷۸/۵۲۷۱
شتاب بیشینه (سانتی‌متر بر مجذور ثانیه)	-	۴۳۹۷/۴۸۰۶	۴۶۵/۵۵۱۸	۴۶۵/۵۵۱۸
تعداد گام تکرار شونده	۱	۲	۱	۲
جذر میانگین مربعات (RMS)	۰/۰۲۷۱	۰/۰۲۷۵	۰/۰۲۷۶	۰/۰۲۷۶
اختلاف جذر میانگین مربعات از پاسخ دقیق (%)	۰/۰۰	۱/۴۶۰۷	۱/۸۷۴۲	۱/۸۷۴۲
زمان تحلیل (ثانیه)	۰/۱۵۷۵	۰/۰۰۲۰	۰/۰۰۱۹	۰/۰۰۱۸

نامنظم را پوشش می‌دهد.

(۴) از محاسبات پیشرفته ریاضی اجتناب می‌شود و عملیات محاسباتی آن صرفاً متشکل از عملیات اصلی هستند.

(۵) تحلیل یک سیستم یک درجه آزادی خطی و غیرخطی حتی توسط مبتدیان نیز قابل انجام است.

(۶) هرگونه خطای ظاهرشده، بدون در نظر گرفتن منابع آن‌ها، به گام‌های بعدی تسری پیدا نمی‌کند.

(۷) با در نظر گرفتن تمامی ویژگی‌های روش ارائه شده، مدت زمان تحلیلی نسخه حاضر در مقایسه با روش‌های نیومارک-بتا و ویلسون تتا قابل رقابت نمی‌باشد.

مطالعات بیشتر جهت توسعه و ارتقاء روش پیشنهادی برای تخمین پاسخ لرزه‌ای انواع دیگر سیستم‌های سازه‌ای مانند مدل‌های غیرخطی و غیرارتجاعی چند درجه آزادی هنوز در حال انجام بوده و پایداری، هم‌گرایی و دقت روش‌های مورد مطالعه نیز در دستور کار قرار دارد.

۷- مراجع

- Al-Subari L, Hanafi M, Ekinici A, "Effect of geosynthetic reinforcement on the bearing capacity of strip footing on sandy soil", SN Applied Sciences, 2020, 2 (9), 1484. <https://doi.org/10.1007/s42452-020-03261-5>.
- Babaei M, Jalilkhani M, Ghasemi SH, Mollaei S, "New methods for dynamic analysis of structural systems under earthquake loads", Journal of Rehabilitation in Civil Engineering, 2022, 10 (3), 81-99. <https://doi.org/10.22075/jrce.2021.23323.1506>.
- Babaei M, Jalilkhani M, Mollaei S, "A numerical method for estimating the dynamic response of structures", Journal of Civil and Environmental Engineering, 2021, 29 (1), 1-19. <https://doi.org/10.22034/jcee.2021.41770.1963>.
- Babaei M, Hanafi MR, "A novel method for nonlinear time-history analysis of structural systems: improved newton-cotes-hermite-5p method", Iranian Journal of Science and Technology, Transactions of Civil Engineering, 2022. <https://doi.org/10.1007/s40996-024-01345-5>.
- Babaei M, Alidoost M R & Hanafi M R, "A Novel Numerical Method for Nonlinear Time History Analysis of MDOF Structures: Newton-Cotes-Hermite-4Point", Journal of Structural and Construction Engineering, 2023, 1 (1), 1-20. <https://doi.org/10.22065/jsce.2023.400538.3134>.
- Bathe K-J, "Finite element procedures Prentice-Hall", New Jersey, 1996, 1037, 1.
- Bathe K, Finite Element Procedures, Watertown, MA: KJ Bathe, Beijing, China: Higher Education Press, 2016.
- Chang SY, "Studies of newmark method for solving nonlinear systems:(ii) verification and guideline", Journal of the Chinese institute of engineers, 2004, 27 (5), 663-675. <http://doi.org/10.1080/02533839.2004.9670914>
- Chopra AK, "Dynamics of structures: theory and

باتوجه به شکل‌های (۷) تا (۱۴)، روش جدید پاسخ دقیق‌تری را در مقایسه با روش نیومارک ارائه می‌دهد. همان‌طور که مشاهده شد، در مثال اول، پاسخ روش نیوتن-کاتس-تتای چهار نقطه‌ای کاملاً با پاسخ دقیق به دست آمده از انتگرال دوهمامل مطابقت دارد؛ درحالی‌که روش نیومارک پاسخ صحیح را از دست می‌دهد. علاوه بر آن، خطای قابل توجه، در حدود ۴۰ درصد، توسط پاسخ جابه‌جایی داده شده توسط روش نیومارک در جدول (۴) شناسایی شده است. مثال (۲) یک مثال چالشی می‌باشد که در آن هر دو روش دارای خطاهای قابل توجهی هستند؛ اما، پاسخ روش جدید قابل اعتمادتر از پاسخ روش نیومارک-بتا می‌باشد. به‌طور خلاصه، روش نیوتن-کاتس-تتای پیشنهادی را می‌توان به‌عنوان یک روش کارآمد، پایدار، دقیق و سریع معرفی کرد که دقیق‌تر از روش نیومارک-بتا عمل می‌کند. علاوه بر آن، الگوریتم جدید در مقادیر $\theta = 0.5$ ، مشابه روش نیومارک کار می‌کند که این امر در مثال‌های مقاله حاضر به‌صورت عددی بررسی نشد.

۶- نتیجه‌گیری

در این مطالعه، فرمول‌بندی عددی بسیار ساده و کارآمد و روش جدید برای به دست آوردن پاسخ دینامیکی سیستم‌های یک درجه آزادی میراشده خطی تحت بارگذاری لرزه‌ای ارائه شده است. این روش‌ها بر اساس مفاهیم ساده از دینامیک سازه و ریاضیات کاربردی بوده و برای سیستم‌های یک درجه آزادی خطی و غیرخطی قابل استفاده می‌باشد. از طرفی روش ارائه شده، فرمول‌بندی خود را برای تحلیل‌های خطی و غیرخطی تغییر نمی‌دهد. نتایج تحلیلی به‌وضوح نشان داد که روش پیشنهادی به‌طور مطلوبی می‌تواند جابه‌جایی، سرعت و پاسخ شتاب سیستم‌های دینامیکی را در گام‌های محاسباتی با دقت مناسبی محاسبه کند. قرابت زیادی بین نتایج حاصله از روش فوق‌الذکر و تاریخچه زمانی سیستم‌های یک درجه آزادی از انتگرال دوهمامل و روش‌های نیومارک-بتا وجود داشت. براین اساس، روش پیشنهادی می‌تواند به‌عنوان یک ابزار تحلیلی قابل اعتماد در محاسبه اثرات لرزه‌ای برای سیستم‌های یک درجه آزادی میرا شده خطی محسوب شود. نتایج گویای آن است که استفاده از این روش با دقت بالایی همراه است و سادگی و سرعت بالا نیز از دیگر ویژگی‌های این روش می‌باشد؛ از طرفی، روش ارائه شده به‌طور رضایت‌بخشی پاسخ لرزه‌ای سیستم‌های یک درجه آزادی میرایی خطی و غیرخطی را محاسبه می‌کند. مهم‌ترین ویژگی روش ارائه شده را می‌توان به‌صورت زیر خلاصه کرد:

- ۱) برنامه‌نویسی کامپیوتری آن بسیار ساده می‌باشد.
- ۲) مدل فعلی یک سری محاسبه تکرارشونده ساده می‌باشد.
- ۳) هر نوع تحریک دل‌خواه مانند هارمونیک و تحریک زلزله

- stabilized with portland cement and coal bottom ash for sustainable future”, *KSCE Journal of Civil Engineering*, 2022, 26 (12), 5049-5066. <https://doi.org/10.1007/s12205-022-2388-z>.
- Izadifard RA, Mollaei S, Omran MEN, “Preparing pressure-impulse diagrams for reinforced concrete columns with constant axial load using single degree of freedom approach”, *International Journal of Advancements o ISSN: 0976-4860 Research Article Research Article e i in Technology*, 2016, 7 (173), 2-6. <https://doi.org/10.4172/0976-4860.1000173>.
- Kazakov KS, “Dynamic response of a single degree of freedom (SDOF) system in some special load cases, based on the Duhamel integral”, *International Conference on Engineering Optimization (EngOpt 2008)*, Rio de Janeiro, Brazil, 1-5 June 2008.
- Kurt N, Cevik M, “Polynomial solution of the single degree of freedom system by Taylor matrix method”, *Mechanics Research Communications*, 2008, 35 (8), 530-536. <https://doi.org/10.1016/j.mechrescom.2008.05.001>.
- Li P, Wu B, “An iteration approach to nonlinear oscillations of conservative single-degree-of-freedom systems”, *Acta Mechanica*, 2004, 170 (1), 69-75. <https://doi.org/10.1007/s00707-004-0112-3>.
- Mollaei S, Fahmi A, Jahani D, Babaei Golesefidi Z, Babaei R, Hanafi MR, “A predictive model for the strength of a novel geopolymer construction material produced by autoclaved aerated concrete waste”, *International Journal of Sustainable Construction Engineering and Technology*, 2022, 14 (1), 148-167. <https://doi.org/10.30880/ijscet.2023.14.01.015>.
- Malakiyeh MM, Shojaee S, Bathe K-J, “The bathe time integration method revisited for prescribing desired numerical dissipation”, *Computers and Structures*, 2019, 212, 289-298. <https://doi.org/10.1016/j.compstruc.2018.10.008>.
- Meirovitch L, “Elements of vibration analysis((Book))”, New York, McGraw-Hill Book Co., 1986, 574, 1986.
- Nguyen QH, Hanafi M, Merkl J-P, d’Espinoze de Lacaille J-B, “Evolution of the microstructure of unconsolidated geopolymers by thermoporometry”, *Journal of the American Ceramic Society*, 2021, 104 (3), 1581-1591. <https://doi.org/10.1111/jace.17543>.
- Newmark N, “A method of computation for structural dynamics”, *Journal of the Engineering Mechanics Division*, 1959, 85 (3), 67-94.
- Noh G, Bathe K-J, “The Bathe time integration method with controllable spectral radius: The ρ_{∞} -Bathe method”, *Computers and Structures*, 2019, 212, 299-310. <https://doi.org/10.1016/j.compstruc.2018.11.001>.
- Paz M, Leigh W, “Structural dynamics: theory and computation”, Springer, US, 1997, 220-264.
- Paz M, Leigh W, “Damped single degree-of-freedom system”, *Structural dynamics: theory and computation*, 2004, 1, 31-48.
- applications to earthquake engineering”, Prentice Hall, Upper Saddle River, NJ, 2012, 134-143.
- Chopra AK, Goel RK, Chintanapakdee C, “Statistics of single-degree-of-freedom estimate of displacement for pushover analysis of buildings”, *Journal of Structural Engineering*, 2003, 129 (4), 459. [https://doi.org/10.1061/\(ASCE\)0733-9445\(2003\)129:4\(459\)](https://doi.org/10.1061/(ASCE)0733-9445(2003)129:4(459)).
- Clough R, Penzien J, “Dynamics of structures, 3rd Ed”, McGraw-Hill, US, 1975, 186-190.
- Ekinci A, Hanafi M, Aydin E, “Strength, stiffness, and microstructure of wood-ash stabilized marine clay”, *Minerals*, 2020, 10 (9), 796. <https://doi.org/10.3390/min10090796>.
- Ekinci A, Hanafi M, Ferreira PMV, “Influence of initial void ratio on critical state behaviour of poorly graded fine sands”, *Indian Geotechnical Journal*, 2020, 50 (5), 689-699. <https://doi.org/10.1007/s40098-020-00416-4>.
- Fahmi A, Zavaragh SR, Hanafi MR, Rahimpour H, Zinatloo-Ajabshir S, Asghari A, “Facile preparation, characterization, and investigation of mechanical strength of Starchy NaCl-binder as a lightweight construction material”, *Scientific Reports*, 2022, 13 (1), 19042. <https://doi.org/10.1038/s41598-023-46536-8>.
- Ebeling RM, Green RA, French SE, “Technical report ITL-97-7: accuracy of response of single-degree-of-freedom systems to ground motion”, Prepared by Army Engineer Waterways Experiment Station Vicksburg Ms Information ..., Washington, D.C, 1997. https://www.researchgate.net/publication/272682432_Accuracy_of_Response_of_Single-Degree-of-Freedom_Systems_to_Ground_Motion.
- Evtushenko YG, Stoer J, “Numerical optimization techniques”, Springer, US, 1985, 436-437.
- Fombrun CJ, “Structural dynamics within and between organizations”, *Administrative Science Quarterly*, 1986, 31 (3), 403-421. <https://doi.org/10.2307/2392830>.
- Ge X, Gong J, Zhao C, Azim I, Yang X, Li C, “Structural dynamic responses of building structures with non-viscous dampers under Kanai-Tajimi spectrum excitation”, *Journal of Sound and Vibration*, 2022, 517, 116556. <https://doi.org/10.1016/j.jsv.2021.116556>.
- Hanafi M, Abki A, Ekinci A, Baldovino JDJA, “Mechanical properties of alluvium clay treated with cement and carbon fiber: relationships among strength, stiffness, and durability”, *International Journal of Pavement Engineering*, 2022, 24 (1), 2094928. <https://doi.org/10.1080/10298436.2022.2094928>.
- Hanafi M, Aydin E, Ekinci A, “Engineering properties of basalt fiber-reinforced bottom ash cement paste composites”, *Materials*, 2020, 13 (8), 1952. <https://doi.org/10.3390/ma13081952>.
- Hanafi M, Ekinci A, Aydin E, “Triple-Binder-Stabilized marine deposit clay for better sustainability”, *Sustainability*, 2020, 12 (11), 4633. <https://doi.org/10.3390/su12114633>.
- Hanafi M, Ekinci A, Aydin E, “Engineering and microstructural properties of alluvium clay

- Veletsos A, Newmark N, Chelapati C, "Deformation spectra for elastic and elastoplastic systems subjected to ground shock and earthquake motions", Proceedings of the 3rd World Conference On Earthquake Engineering, Wellington, New Zealand, 10 January 1965.
- Wen W, Wei K, Lei H, Duan S, Fang D, "A novel sub-step composite implicit time integration scheme for structural dynamics", Computers and Structures, 2017, 182, 176-186.
<https://doi.org/10.1016/j.compstruc.2016.11.018>
- Wu J-S, "Analytical and numerical methods for vibration analyses", John Wiley and Sons, US, 2013, 350-356.
- Zhang J, Liu D, Liu Y, "Degenerated shell element with composite implicit time integration scheme for geometric nonlinear analysis", International Journal for Numerical Methods in Engineering, 2016, 105 (7), 483-513.
<https://doi.org/10.1002/nme.4975>.
- Zhang J, Liu Y, Liu D, "Accuracy of a composite implicit time integration scheme for structural dynamics", International Journal for Numerical Methods in Engineering, 2017, 109 (3), 368-406.
<https://doi.org/10.1002/nme.5291>.

EXTENDED ABSTRACT

New Formulation for Dynamic Analysis of Nonlinear Time-History of Vibrations of Structures under Earthquake Loading

Mohammad Reza Hanafi^a, Mehdi Babaei^{b,*}, Peyman Narjabadifam^b

^a Bachelor of Civil Engineering, Department of Civil Engineering, University of Bonab, Bonab, Iran

^b Assistant professor, Department of Civil Engineering, University of Bonab, Bonab, Iran

Received: 12 December 2022; **Review:** 19 May 2023; **Accepted:** 11 June 2023

Keywords:

Structural dynamics, Seismic response, Nonlinear analysis, Time-history analysis, Newton-Cotes-4P- θ method.

1. Introduction

A fast and efficient numerical scheme is presented for time-history analysis of single-degree-of-freedom (SDOF) structural systems undergoing seismic excitation (Chopra, 2003). The new method is called Newton-Cotes-4P- θ Method. It uses the most known 4-point Newton-Cotes quadrature in its body to solve the vibration equation. Nonlinear analysis is covered as well as linear analysis. Any arbitrary external loadings of type force or seismic signals are welcome. The significant advantages of the new formulation are its great simplicity, running speed, and appropriate precision level compared with its counterparts such as Duhamel integral and Newmark- β methods. The accuracy level of the Newton-Cotes-4P- θ is close to the semi-analytical method of Duhamel integration and its speed is similar to the Newmark- β algorithm. Notably, against the nonlinear Newmark- β method, the new method does not require a standalone procedure to handle nonlinear analysis; instead, it simply triggers iteration of the same computation used in its first processing round. Moreover, the Newmark- β method loses its performance dealing with stiff ($T_n > 1.5$ sec) and near-conservative ($\zeta < 0.02$) systems; however, the Newton-Cotes-4P- θ method does not lose its accuracy and keeps its well-performed analysis in this case. Numerical results reveal the superiority of the Newton-Cotes-4P- θ method against its counterparts such as the Duhamel integral, Newmark- β , and Wilson- θ methods (Babaei et al., 2021; Babaei et al., 2022; Babaei et al., 2023).

2. Methodology: Proposed Newton-Cotes-4P- θ method

To formulate the Newton-Cotes-4P- θ method, we first recall the basics from the kinematics of particles in Dynamics. Then, we use the multistep numerical integration formula of the Newton-Cotes rule to estimate the velocity and displacement in their basic relations. Careful assessment of the Newton-Cotes integration showed that they lose their efficiency when analyzing high-frequency systems. So, a series of modifications are made in the body of Newton-Cotes to improve its performance when dealing with these systems. This modification lies effective and noticeably increases the accuracy of the numerical method in a way that it can robustly analyze linear and nonlinear systems possessing any type of nonlinearity in its component. Finally, simplifying the nonlinear algorithm of Newton-Cotes-4P- θ , we achieve the linear version of this technique. The Linear Newton-Cotes-4P- θ method is merely able to analyze linear systems and it cannot properly handle nonlinear problems.

3. Results and discussion

According to Figs 1 to 3 the presented Newton-Cotes-4P method provides a more accurate response compared to the Newmark- β method.

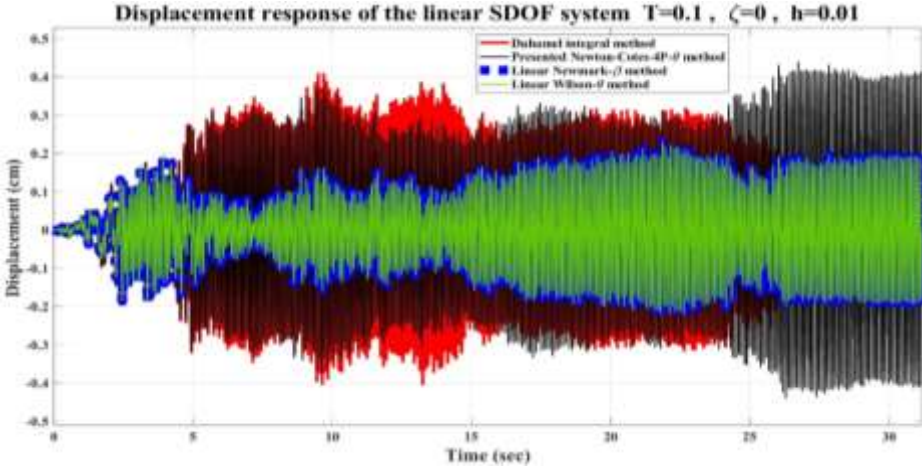


Fig. 1. Displacement time-history response of the linear SDOF system

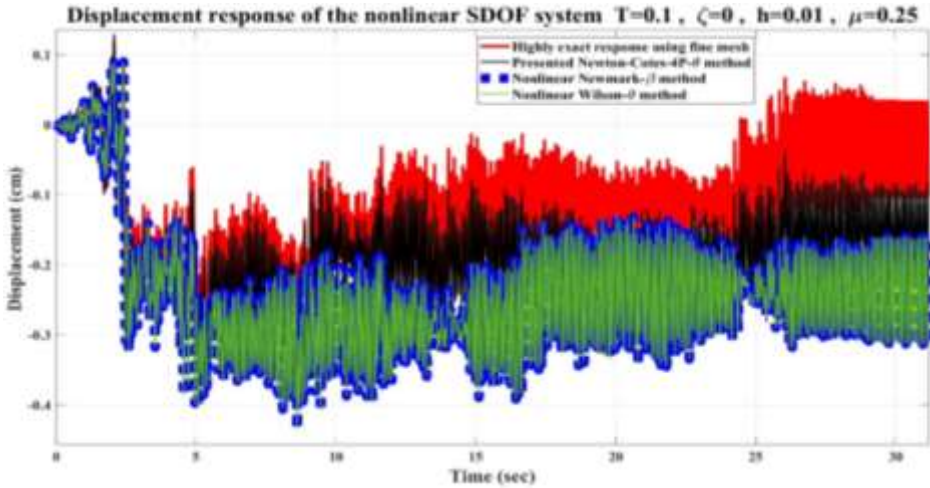


Fig. 2. Displacement time-history response of the nonlinear SDOF system

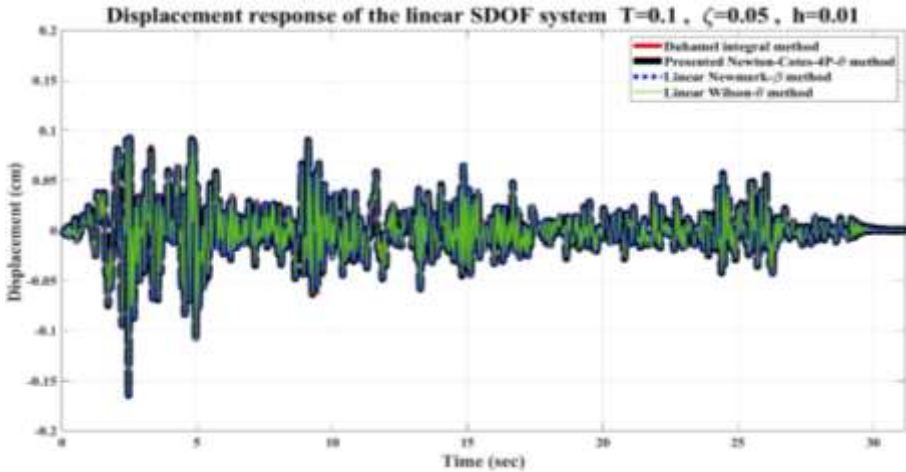


Fig. 3. Displacement time-history response of the linear damping SDOF system

In the first example, the response from the Newton-Cotes-4P- θ method completely matches the exact response obtained from the Duhamel integral while Newmark loses the correct response. Moreover, a significant error, about 40 percent, is detected by the displacement response given by the Newmark- β method in Table 3. Example II is a challenging one for which both of the methods have significant errors; but, the response of the new method is again more reliable than Newmark's response.

Table 1. Peak responses and run-times of linear and nonlinear analyses in the examples

Item	Highly exact response Duhamel integral method or using fine mesh		Presented Newton-Cotes-4P- θ method		Linear Newmark- β method or Nonlinear Newmark- β method		Low exact response Linear Wilson- θ method or Nonlinear Wilson- θ method	
	Linear	Nonlinear	Linear	Nonlinear	Linear	Nonlinear	Linear	Nonlinear
Max Displacement (cm)	0.4104	0.3149	0.4140	0.347500470	0.2301	0.4347	0.2297	0.4347
Max Velocity (cm/sec)	NC*	8.0184	27.5466	8.260706207	13.7125	8.2166	13.6879	8.2166
Max Acceleration (cm/sec ²)	NC*	404.4226	1560.8602	412.6025804	849.3479	402.3668	847.5628	402.3668
Number of iteration	1	5	2	3	1	5	2	3
Run time (sec)	0.3856	0.1359	0.0008	0.0013	0.0005	0.0014	0.0010	0.0010

NC*: Not computed

4. Conclusions

In this study, a greatly simple and efficient numerical formulation so-called Newton-Cotes-4P- θ method was developed for computing the dynamic response analysis of the structures. Both linear and nonlinear versions of the method were proposed in this study. The great advantage of the new formulation is that it does not change its formulation for linear and nonlinear analyses. Against the Newmark- β method, it has no standalone mechanism to deal with the nonlinearity; instead, it just repeats the same formulas used for the linear analysis. Results reveal that the proposed method satisfactorily estimates the seismic response of linear and nonlinear damped SDOF systems. It was also shown that the proposed Newton-Cotes-4P- θ method can reliably estimate the displacement time-history response of the SDOF systems. So, the proposed method can be identified as an efficient analysis tool for estimating the seismic demands of linear damped systems. Further studies in the development of the proposed procedure for more accuracy and simplicity are still underway.

5. References

Babaei M, Jalilkhani M, Ghasemi SH, Mollaei S, "New methods for dynamic analysis of structural systems under earthquake loads", *Journal of Rehabilitation in Civil Engineering*, 2022, 10 (3), 81-99. <https://doi.org/10.22075/jrce.2021.23323.1506>

Babaei M, Alidoost MR, Hanafi MR, "A novel numerical method for nonlinear time history analysis of mdof structures: Newton-Cotes-Hermite-4Point", *Journal of Structural and Construction Engineering*, 2023, 1 (1), 1-20. <https://doi.org/10.22065/jsce.2023.400538.3134>

Babaei M, Jalilkhani M, Mollaei S, "A Numerical method for estimating the dynamic response of structures", *Journal of Civil and Environmental Engineering*, 2021, 29 (1), 1-19. <https://doi.org/10.22034/jcee.2021.41770.1963>

Chopra AK, Goel RK, Chintanapakdee C, "Statistics of single-degree-of-freedom estimate of displacement for pushover analysis of buildings", *Journal of Structural Engineering*, 2003, 129 (4), 459.